



## Petrography and Geochemistry of Tertiary Volcanic Rocks in the North and West of Birjand and Identification of Their Enclaves

M. H. Yousefzadeh<sup>1</sup>, S. M. Pourmoafi<sup>2</sup>, M. Sabzehei<sup>3</sup>,  
M. VosooghiAbedini<sup>2</sup>, M. H. Emami<sup>3</sup>

1- Department of Earth Sciences, Birjand University, Birjand, Iran

2- Department of Geology, Shahid Beheshti University, Tehran, Iran

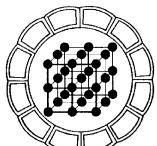
3- Department of Ggeology,Geology Survey of Iran, Tehran,Iran

E-mail:mhyousefzadeh@yahoo.com

(Received: 14/4/2008, in revised form: 29/1/2009)

**Abstract:** The Tertiary volcanic rocks in the north and west of Birjand are dacite; andesite, basaltic andesite, trachyandesite and rhyolite. They belong to calc- alkaline from magmatic series. Mineralogical, petrographical and geochemical evidence show that they have formed in active continental margins. Most andesites and dacites are appeared as volcanic domes or subvolcanic dykes that injected older units contianing Late Cretaceous ophiolite melange and Late Cretaceous and Paleocene flysch. One of the most important characteristic of these rocks is the presence of enclaves with various compositions. These enclaves are xenolithic types including pelitic hornfels, amphibolitic, tonalitic gneiss and autolithic types with andesite (diorite) or dacite (tonalite) compositions. The xenoliths are fragments of older flysch and ophiolite melange units that fall to ascending magma and at least bearing two type metamorphism. The first type of metamorphism is dynamothermal that can be related to emplacement of ophiolite upon continental crust. Along with this metamorphism, flysch units change to slate, phyllite and micaschist; basic units change to amphibolite and acidic unit change to granitic geniss. Second type is contact metamorphism resulting from temperature of lava that caused these enclaves metamorphosed to medium or high grade.

**Keywords:** *Volcanic rocks- Calc-alkaline, Enclave, Tertiary, Birjand.*



## سنگ‌شناسی و ژئوشیمی سنگ‌های آتشفسنای ترشیری شمال و غرب بیرجند و شناسایی برونبوم‌های آن

محمدحسین یوسفزاده<sup>۱</sup>، سیدمحمد پورمعافی<sup>۲</sup>، مسیب سیزه‌تی<sup>۳</sup>

منصور وثوقی عابدینی<sup>۲</sup>، محمد هاشم امامی<sup>۳</sup>

۱- گروه پژوهشی علوم زمین، دانشگاه بیرجند، بیرجند، ایران

۲- گروه زمین‌شناسی، دانشگاه شهید بهشتی، تهران، ایران

۳- گروه زمین‌شناسی، پژوهشکده علوم زمین، سازمان زمین‌شناسی و اکتشافات معدنی کشور، تهران، ایران

پست الکترونیکی: [mhyousefzadeh@yahoo.com](mailto:mhyousefzadeh@yahoo.com)

(دریافت مقاله: ۸۷/۱/۲۶، نسخه نهایی: ۸۷/۱۰/۹)

**چکیده:** سنگ‌های آتشفسنای ترشیری شمال و باختر بیرجند شامل داسیت، آندزیت، آندزیت بازالتی، تراکی آندزیتی و ریولیت بوده و به سری ماقمائی آهکی-قلیایی تعلق دارند. شواهد کانی شناسی، سنگ‌شناسی و ژئوشیمی‌دانشگاه شهید بهشتی نشان می‌دهد که محل تشکیل این سنگ‌ها با حاشیه فعال قاره‌ای مطابقت دارد. آندزیتها و داسیتها غالباً به صورت گنبدی‌های آتشفسنای و یا به صورت دایکی، سنگ‌های قدیم تر منطقه، شامل افیولیت ملانژ اوخر کرتاسه و فلیش‌های اوخر کرتاسه و پالئوسن را قطع می‌کند. یکی از بازترین ویژگی‌های این سنگ‌ها حضور برونبوم‌های متفاوت در آن‌هاست. این برونبوم‌ها شامل انواع زینولیتی و اتوالیتی می‌شوند. زینولیتها شامل هورنفلس‌های پلیتی، آمفیبولیتی و گنیس‌های تونالیتی و اتوالیتها از نوع آندزیتی (دیوریتی) و داسیتی (تونالیتی) می‌شوند. زینولیتها قطعات کنده شده از واحدهای افیولیت ملانژ و فلیشی کرتاسه است که حین صعود ماقماً به درون آن سقوط کرده و حداقل دستخوش دو نوع دگرگونی شده‌اند. دگرگونی اول از نوع گرما جنبشی بوده که به جایگیری افیولیتها بر پوسته قاره‌ای وابسته است. طی این دگرگونی، واحدهای فلیشی به اسلیت، فیلیت و میکاوشیست؛ واحدهای بازیک مجموعه افیولیتی به آمفیبولیت و واحدهای اسیدی آن به گنیس تونالیتی تبدیل شده است. دگرگونی دوم از نوع مجاورتی و ناشی از تاثیر گرمای ماقمای مادر گدازه‌ها بر برونبوم‌ها بوده، به طوری که آن‌ها را تا درجات متوسط و شدید دگرگون کرده است.

**واژه‌های کلیدی:** سنگ‌های آتشفسنای، آهکی-قلیایی، برونبوم، ترشیری، بیرجند.

که سنگ نگاشت و ژئوشیمی آنها مورد بررسی قرار گیرد و انواع برونبوم‌های آنها معرفی شوند. منطقه مورد بررسی در بخش شمال و باختر بیرجند (مرکز استان خراسان جنوبی) قرار دارد و راههای ارتباطی آن جاده‌های اصلی بیرجند-مشهد، بیرجند-خوسف و راههای فرعی بیرجند به روستاهای اطراف است (تصویر ۱).

مقدمه

یکی از ویژگی‌های گنبدی‌های آتشفسنای منطقه بیرجند (شمال بلوک لوت)، حضور برونبوم‌های فراوان در آن‌هاست. با توجه به این که تا به حال سنگ‌های یاد شده و بویژه برونبوم‌های موجود در آن‌ها، مورد بررسی مطالعه قرار نگرفته‌اند، در این کار پژوهشی سعی بر آن است

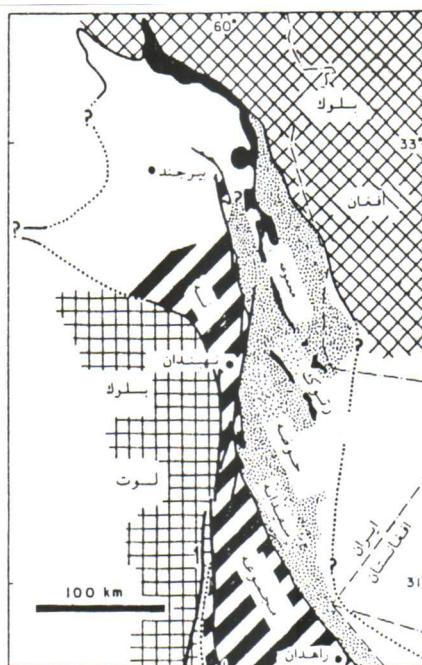


تصویر ۱ گستره مورد بررسی و نقشه راههای ارتباطی.

#### زمین‌شناسی منطقه

از نظر زمین‌شناسی ساختاری، منطقه بیرجنند در حد فاصل بین بلوك‌لوت (در باخته) و زون جوش خورده سیستان (در خاور) واقع شده است (تصویر ۲ [۱، ۲]). در این منطقه، واحدهای سنگی مختلفی شامل بخش‌هایی از واحدهای مافیک و اولترامافیک افیولیت ملاتر با سن کرتاسه، تنفسیت‌ها فلیشی کرتاسه، کنگلومراهای نفوذ و سنگ‌های آتشفشانی ترشیری وجود دارند. سنگ‌های ترشیری به صورت واحدهای آذرآواری قدیمتر و سنگ‌های آتشفشانی جوان تر رخمن دارد. جدیدترین واحدهای ترشیری، گنبدهای داسیتی و آندزیتی حاوی برونبوم است [۳، ۴].

**روش کار**  
پس از نمونه برداری دقیق در یک عملیات صحرائی دو ماهه، بیش از ۱۰۰ مقطع نازک میکروسکوپی از سنگ‌های آتشفشانی و برونبوم‌های موجود در آنها تهیه و بررسی شدند. برای شناسایی نوع و ترکیب شیمیائی کانی‌ها، توسط دکتر گیلز دروب در دانشگاه منچستر انگلستان، روی ۴ نمونه آنالیز نقطه‌ای به روش EPMA صورت گرفت. در راستای بررسی‌های ژئوشیمیائی، ۱۱ نمونه از عناصر اصلی و فرعی سنگ‌های یادشده، در شرکت کانساران بینالود به روش XRF با دستگاه مدل Philips PW 14800 مورد بررسی قرار گرفتند. در پایان برای ترسیم نمودارهای ژئوشیمیائی، از برنامه کامپیوتري New Pet و برای شناسایی کانی‌ها از برنامه Min Pet استفاده شد.



تصویر ۲ ساختار کلی بخشی از زون سیستان در حد بین بلوك لوت و بلوك افغان [۲]

### سنگ‌شناسی

بر اساس ترکیب کانی‌شناسی، سنگ‌های آتشفسانی منطقه از نوع آندزیت، داسیت و ریولیت و برونیوم‌ها بیشتر از نوع زینولیتی و کمتر از نوع اتوولیتی را تشکیل داده‌اند که ذیلاً مورد بررسی قرار می‌گیرند.

### آنذزیت‌ها

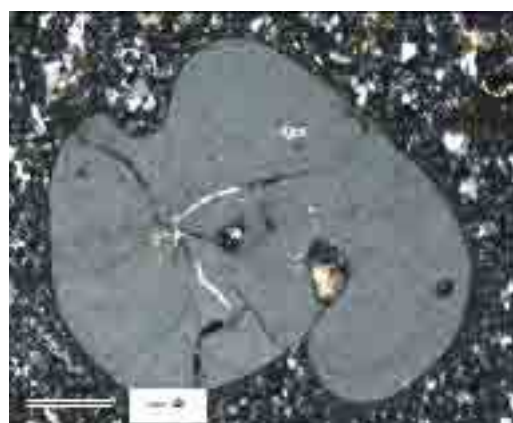
آنذزیت‌های منطقه معمولاً مزوکرات‌اند و به رنگ‌های خاکستری، سرخ و سبز روشن دیده می‌شوند. بافت اصلی این سنگ‌ها پورفیری با خمیره ریز دانه تا شیشه‌ای بوده و برخی از آنها با بافت‌های سری ایت، جریانی، آفریک و بادامکی نیز دیده می‌شوند. درشت بلورهای شکل-دار پلازیوکلاز (اولیگوکلاز-آنذزین) که معمولاً منطقه بندی نوسانی دارند، فراوان ترین سازه‌های آن هستند. درشت بلورهای نیمه شکل دار و شکل‌دار هورنبلند سبز، بیوتیت و کلینوپیروکسن به ترتیب فراوان ترین کانی‌های فرومینیزین این سنگ‌ها بوده به طوری که بر اساس فراوانی آنها می‌توان زیر رده‌های بیوتیت آندزیت، بیوتیت پیروکسن آندزیت، هورنبلند آندزیت، پیروکسن آندزیت را تشخیص داد. درشت بلورهای کلینوپیروکسن (اوژیت) دارای ماکلهای ساده و نواری بوده (تصویر ۳) و کم و بیش، به کانی‌های رسی و کلسیت دگرسان شده‌اند. در هورنبلند آندزیت‌ها، هورنبلندهای سبز مایل به قهوه‌ای دارای کرانه‌های واکنشی کدری هستند. خمیره ریز دانه‌ای بیشتر از میکرولیت‌های پلازیوکلاز و در تراکی آندزیت‌ها از پلازیوکلاز و فلدسپات پتابسیم



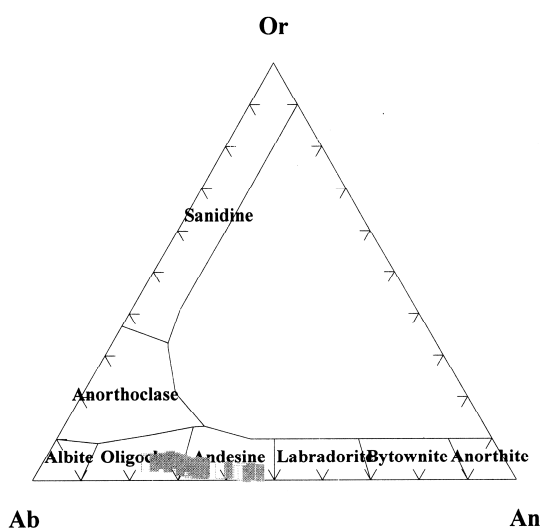
تصویر ۳ درشت بلورهای کلینوپیروکسن (Cpx) و پلازیوکلاز (Plg) در آندزیت (XPL).



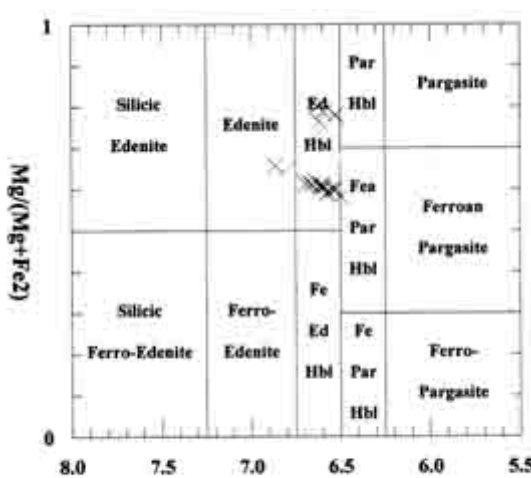
تصویر ۴ بافت پورفیری در داسیت حاوی درشت بلورهای پلازیوکلاز (Bio) و بیوتیت (Plg) در خمیره ریز دانه تا مخفی بلور (PPL).



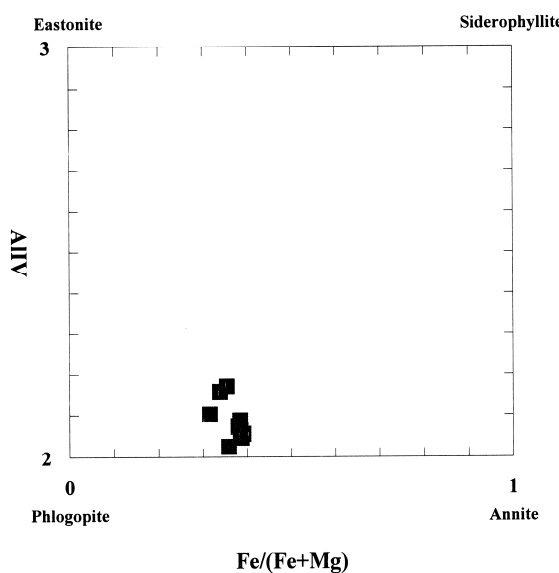
تصویر ۵ درشت بلورهای کوارتز (Qtz) با کرانه بلوری در خلیجی در داسیت (XPL).



نمودار ۱ ترکیب پلازیوکلازهای موجود در گستره اولیگوکلاز-آنزین.



نمودار ۲ ترکیب آمفیبولهای موجود در داسیتها در گسترهای ادنیت و هورنبلند ادنیت.



نمودار ۳ ترکیب میکاها موجود در گستره فلوگوپیت.

در بخش‌های کناری خود و حتی در راستای کلیواژها، به هورنبلند سبز تبدیل شده‌اند (تصویر ۷). داده‌های تجزیه نقطه‌ای، ترکیب ادنیت هورنبلند، فروئن پارگازیت هورنبلند و ادنیت را برای این آمفیبولوها نشان می‌دهند (نمودار ۴). بلورهای نیمه شکل‌دار بیوتیت (فلوگوپیت) دارای ترکیب فلوگوپیت‌اند (نمودار ۵). بلورهای نیمه شکل‌دار پلازیوکلاز دارای ترکیب اسفن نیز در گستره اواسط آندزین تا اوایل بیتونیت هستند (نمودار ۶). بلورهای شکل‌دار کلینوپیروکسن دارای ترکیب دیوبسیدند (نمودار ۷). اسفن نیز دیده می‌شود. کانی‌های ثانویه از قبیل کلسیت و ذرات کدر نیز به طور پراکنده وجود دارند که به ترتیب اصلی برونبومها دانه‌ای است. گاهی ذرات هورنبلند و بیوتیت در درون پلازیوکلاز بافت پوئی کیلوبلاستیک را به وجود آورده است. گروه دوم، آمفیبولیت‌های ریز دانه و سبز رنگی هستند که فاقد و یا دارای مقادیر کمتری کلینوپیروکسن بوده و اندازه آن‌ها از کمتر از ۱ تا بیش از ۲۰ سانتی‌متر است. هورنبلند سبز و پلازیوکلاز دو سازای اصلی این زینولیت‌ها هستند که به نسبت‌های متفاوتی ملاحظه می‌شوند؛ به طوریکه برخی نمونه‌ها فقط از هورنبلند سبز تشکیل یافته‌اند. هورنبلندها در بخش پائین گستره ادنیت هورنبلند و نیز در گستره ادنیت و مرز ادنیت هورنبلند و فروئن پارگازیت هورنبلند جای می‌گیرند (نمودار ۲). برخی از این نمونه‌ها دارای کوارتزند. بافت اصلی این برونبومها نماتوبلاستیک و گرانوبلاستیک‌اند. رخساره دگرگونی این سنگ‌ها نیز تا حد رخساره آمفیبولیت می‌رسد.

## ریولیت‌ها

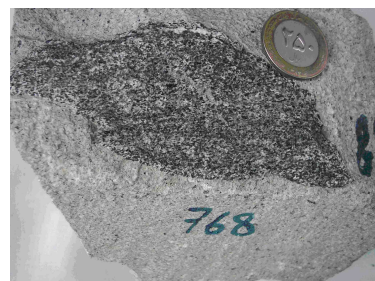
ریولیت‌ها ریز دانه و دارای رنگ خاکستری روشن هستند. درشت بلورهای شکل‌دار سانیدین با ماکل کارلسbad و نیز بلورهای کوچک‌تر آن در خمیره ریز دانه دیده می‌شوند. درشت بلورها و نیز ریز بلورهای کوارتز، دیگر سازه‌های اصلی ریولیت است. به مقدار کم درشت بلورهای شکل‌دار پلازیوکلاز ملاحظه می‌شود. خمیره متشکل از ریز دانه‌های کوارتز، سانیدین و میکرولیت‌های ظرفی پلازیوکلاز بوده و بافت جریانی را به نمایش می‌گذارد. بیوتیت، به طور کامل، اپاسیتی شده است.

## برونبوم‌ها

به طور کلی برونبوم‌های موجود در سنگ‌های آتش‌شانی ترشیری منطقه، به دو نوع اصلی زینولیتی و اتوالیتی تقسیم می‌شوند. زینولیت‌ها شامل انواع آمفیبولیتی، گنیس‌های تونالیتی و هورنفلس‌های برکه‌ای بوده و اتوالیت‌ها ترکیب دیوریتی (آندزیتی) و تونالیتی (دانسیتی) دارند.

## زینولیت‌های نوع آمفیبولیتی

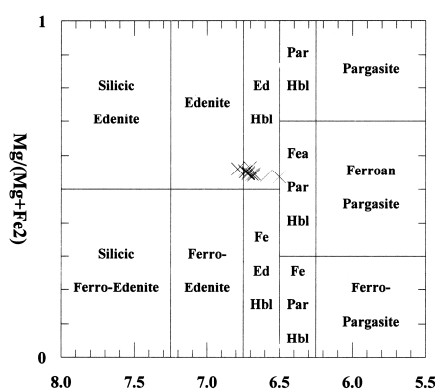
این زینولیت‌ها به دو گروه تقسیم می‌شوند. گروه اول کلینوپیروکسن بیوتیت آمفیبولیت‌های دانه متوسط و تیره رنگ بوده که به اشکال تقریباً بیضوی و حداکثر به قطر ۱۰ سانتی متر دیده می‌شوند (تصویر ۶). این زینولیت‌ها دارای مرز ناگهانی با سنگ میزبان بوده و تا حدودی بافت گنیسی را به نمایش می‌گذارند. بلورهای نیمه شکل‌دار تا شکل‌دار هورنبلند قهوه‌ای فراوان ترین کانی فرومیزین آنها بوده و



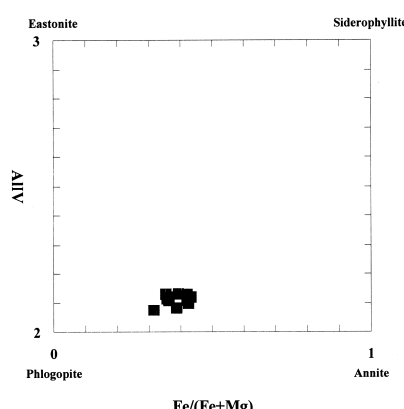
تصویر ۶ برونبوم آمفیبولیتی در داسیت.



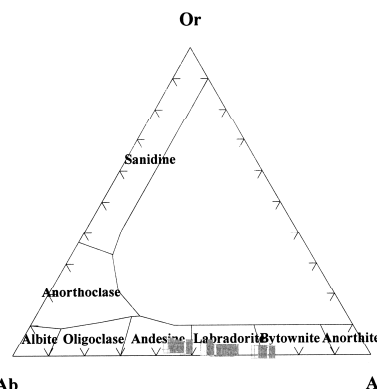
تصویر ۷ تبدیل هورنبلند قهواهی (b.Hb) به هورنبلند سبز(g.Hb) در برونبوم آمفیبولیتی (PPL).



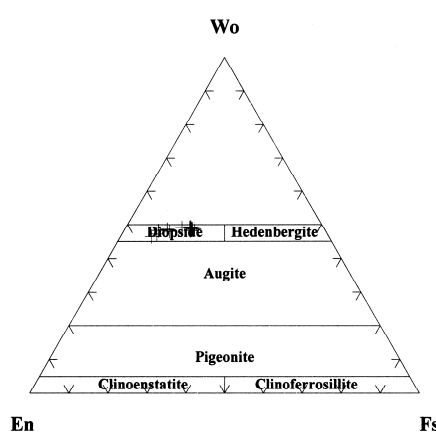
نمودار ۴ ترکیب آمفیبولهای موجود در زینولیت آمفیبولیتی در محدوده‌های ادنیت و هورنبلند ادنیت.



نمودار ۵ ترکیب میکاهای موجود در زینولیت آمفیبولیتی در محدوده فلوگوییت.



نمودار ۶ ترکیب پلاژیوکلازهای موجود در زینولیت آمفیبولیتی در محدوده‌های آندزین تا بیتونیت.



نمودار ۷ ترکیب پلاژیوکلازهای موجود در زینولیت آمفیبولیتی در محدوده‌های آندزین تا بیتونیت.

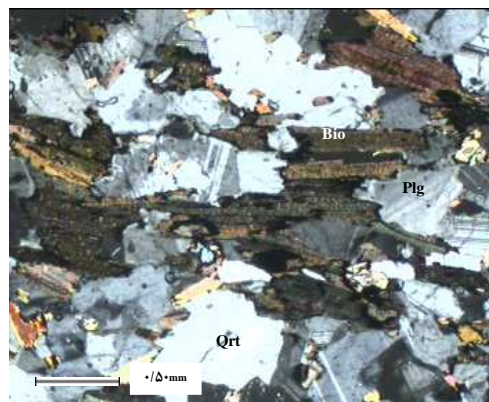
پلاژیوکلازها تا حدودی به کلسیت و کانی‌های رسی دگرسان شده‌اند. پلاژیوکلازها دارای ترکیب آندزین‌اند (نمودار ۷). بلورهای نیمه شکل-دار بیوتیت قهوه‌ای به حالت سمت یافته و یا خمیده‌اند که حاکی از اعمال فشار بر آنها در طول دگرگونی گرما جنبشی است (تصویر ۹). برخی نمونه‌ها ترکیب کلینوپیروکسن پلاژیوکلاز گنیس داشته و حاوی پاراژنز کلینوپیروکسن (دیوپسید) (نمودار ۸)، پلاژیوکلاز (آندزین)، کوارتز، اسفن و کانی‌های کدر است. بافت آن‌ها دانه‌ای (گرانوبلاستیک) توأم با یافته‌های سمت یافته زمین ساختی است.

#### زینولیت‌های نوع گنیس تونالیتی

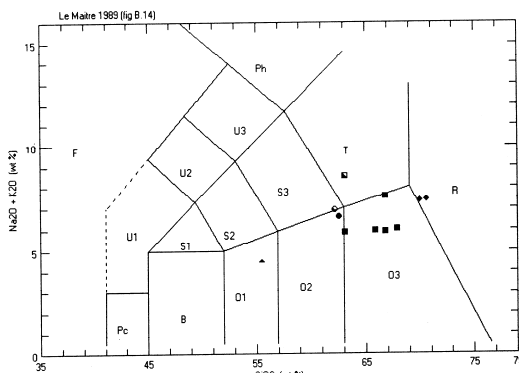
این برونبوم‌ها متوسط دانه و به رنگ سبز روشن بوده و بیشتر به شکل بیضوی با قطر متوسط ۱۰-۲۰ سانتی متر دیده می‌شوند. این برونبوم‌ها نیز دارای مرز ناگهانی با سنگ میزانند (تصویر ۸). بلورهای بی شکل کوارتز فراوان ترین کانی فلزیک این نوع برونبوم بوده و بافت‌های دانه‌ای و موزائیکی را نشان می‌دهند. حضور معدودی از بلورهای کرمی شکل کوارتز در پلاژیوکلازها معروف بافت میرمکیتی است. بلورهای شکل دار تا نیمه شکل دار پلاژیوکلازهای با به دام انداختن بلورهای بیوتیت بافت پوئی کیلیتیک را به نمایش می‌گذارند.



تصویر ۸ انکلاو گنیس تونالیتی در داسیت.



تصویر ۹ بیوتیت (Bio)، پلازیوکلار (Plg) و کوارتر (Qrt) در انکالاو گنیسی (XPL).



نمودار ۸ ترکیب پپروکسن‌های موجود در زینولیت آمفیبولیتی در محدوده یوپسید.

بلورهای نیمه شکل دار پلازیوکلار فراوان ترین سازای آنها را تشکیل می‌دهند. بلورهای نیمه شکل دار و بی‌شکل بیوتیت کم و بیش اپاسیتی شده‌اند. کلینوپپروکسن غالباً به صورت نیمه شکل دار دیده می‌شود. کانی‌های کدر و بلورهای ریز و بلند آپاتیت نیز دیده می‌شود. برخی دیگر از این اتوالیت‌ها قطعات شکسته‌ای از حاشیه‌های زودتر متبلور شده ماقما هستند که به درون گدازه سقوط کرده و دارای بافت پورفیری با خمیره ریز دانه‌اند. این قطعات در بخش‌های حاشیه‌ای گنبدها فراوان ترند. اندازه آنها به طور متوسط از ۳ تا ۱۰ سانتی‌متر و رنگ آن‌ها کمی تیره‌تر از سنگ میزان است. مرز این برونبوم‌ها با سنگ میزان، ناگهانی است.

#### ژئوشیمی سنگ‌های آتشفشاری مورد بررسی

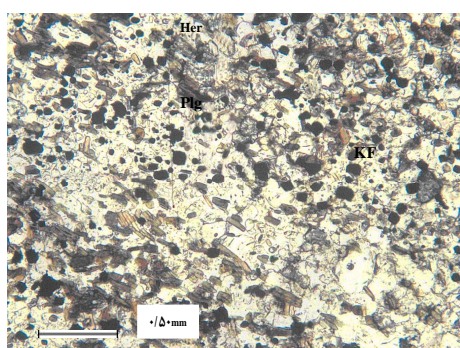
برای نامگذاری ژئوشیمی سنگ‌های آتشفشاری و تعیین سری ماقمایی ماقماهای مادر آنها و نیز بررسی تغییر روند عناصر اصلی و فرعی حین جدایش بلوری، تعداد ۱۱ نمونه از سنگ‌های میزان به روش XRF تجزیه شده‌اند که نتایج آن در جدول ۱ ارائه شده است.

#### زنولیت‌های نوع هورنفلس برگمای

این برونبوم‌ها ریز دانه و به رنگ کاملاً تیره و با ابعادی در حدود ۱ تا ۱۰ سانتی‌متر و دارای مرز روشنی با سنگ میزانند. بررسی‌های میکروسکوپی نشان می‌دهد که این نوع برونبوم‌ها دارای سمت و سوی ترجیحی ضعیفی هستند و از بخش متفاوت غنی از میکا و غنی از کانی‌های فلزیک تشکیل شده‌اند. در بخش غنی از بیوتیت بافت‌های پیپوپلاستیک ملاحظه می‌شوند. کوارتر و پلازیوکلار در بخش روشن از فراوانی بیشتری برخوردارند. بررسی‌های میکروسکوپی و XRD حضور کراندوم، هرسی نیت و کردیریت را نشان می‌دهد. ذرات کدر نیز به مقدار کم وجود دارند (تصویر ۱۰).

#### اتولیت‌ها

اتولیت‌ها، برونبوم‌هایی هستند که از تبلور همان ماقما بوجود آمده‌اند. برخی از آنها حاصل تبلور ماقما در عمق نسبتاً زیاد بوده و بافت‌های دانه‌ای و ریز دانه‌ای دارند. این اتوالیت‌ها بیشتر در حاشیه زینولیت‌های آمفیبولیتی و یا برونبوم‌های غنی از بیوتیت تبلور یافته‌اند؛ به این معنی که زینولیت‌های یاد شده شبیه یک نطفه برای تبلور آنها عمل کرده‌اند.



تصویر ۱۰ بیوتیت(Bio)، پلازیوکلارز(Plg)، کراندوم(Cor)، هرسی نیت(Her) و فلدسپات پتاسیم(KF) متخلکه‌های زینولیت برگ‌های(XPL).

جدول ۱ داده‌های تجزیه شیمیائی سنگ‌های آتشفسانی شمال و غرب بیرجند.

نمونه‌ها اکسیدها و عناصر	601 داسیت	618 ریولیت	623 داسیت	647 آندرزیت بازالتی	658 داسیت	662 داسیت	664 ترکی داسیت تراکی آندزیت	963 ترکی داسیت تراکی آندزیت	969 آندرزیت	632-2 ریولیت	765A داسیت
SiO <sub>2</sub>	۶۷,۸۹	۷۰,۵۹	۶۵,۸۸	۵۵,۵۱	۶۶,۸۲	۶۳,۱۰	۶۲,۱۵	۶۳,۰۷	۶۲,۵۵	۶۹,۹۴	۶۶,۸۲
Al <sub>2</sub> O <sub>3</sub>	۱۵,۰۸	۱۶,۸۴	۱۴,۴۷	۱۷,۰۷	۱۵,۲۳	۱۲,۴۶	۱۴,۹۱	۱۵,۴۴	۱۴,۵۷	۱۶,۲۲	۱۵,۰۷
Fe <sub>2</sub> O <sub>3</sub>	۲,۸۷	۱,۶۴	۳,۴۳	۶,۴۷	۳,۰۴	۴,۷۲	۴,۱۵	۳,۶۴	۳,۸۴	۱,۵۷	۲,۸۸
CaO	۳,۸۶	۱,۲۷	۴,۴۵	۷,۴	۴,۱۷	۵,۹۶	۳,۹۵	۳,۶۶	۴,۴۰	۱,۳۲	۳,۷۲
Na <sub>2</sub> O	۳,۳۴	۴,۷۸	۳,۷۷	۲,۴۱	۴,۳۴	۴,۶۵	۵,۲۶	۶,۱۸	۴,۵۵	۴,۲۵	۵,۱۴
K <sub>2</sub> O	۲,۶۹	۲,۶۲	۲,۱۸	۱,۰۹	۱,۵۹	۱,۲۴	۱,۶۸	۲,۳۵	۲,۰۷	۳,۱۲	۱,۴۳
MgO	۱,۴۲	۰,۱۳	۳,۰۵	۴,۴۸	۲,۸۲	۲,۱۵	۴,۸۲	۲,۸۴	۴,۸۶	۰,۲۰	۲,۱۷
TiO <sub>2</sub>	۰,۲۹۶	۰,۰۵۹	۰,۳۵۸	۰,۷۲۳	۰,۳۶۲	۰,۳۷۰	۰,۴۹۲	۰,۳۴۵	۰,۴۱۹	۰,۰۶۸	۰,۳۰۵
MnO	۰,۰۴۰	۰,۰۰۱	۰,۰۴۹	۰,۱۱۰	۰,۰۴۸	۰,۰۵۰	۰,۰۶۱	۰,۰۶۵	۰,۰۵۵	۰,۰۱۵	۰,۰۵۵
P <sub>2</sub> O <sub>5</sub>	۰,۱۳۳	۰,۰۷۳	۰,۲۲۵	۰,۲۱۳	۰,۱۰۱	۰,۱۰۹	۰,۱۲۶	۰,۱۹۱	۰,۲۶۵	۰,۰۷۳	۰,۲۴۵
L.O.I	۲,۲۳	۱,۳۳	۱,۶۶	۲,۵۴	۱,۳۰	۴,۷۷	۱,۹۲	۱,۳۸	۱,۹۲	۲,۸۱	۰,۷۶
Cl(ppm)	۳۲	۶	۵۵	۳۳	۴	۱۲	۱۲۱	۸۶	۱۳۶	۶۲	۵۵
S	۲۴	۲۰	۱۶۶	۳۰	۲۶	۳۴	۴۱	۲۲	۲۷	۲۵	۳۳
Ba	۱۱۳۴	۴۴۵	۷۳۷	۱۷۸	۲۳۰	۱۸۸	۱۵۴	۴۴۳	۷۰۸	۲۳۹	۸۵۰
Sr	۱۱۴۸	۳۳۷	۷۴۸	۴۰۰	۴۹۷	۴۱۴	۵۴۳	۵۴۷	۱۲۷۱	۲۱۸	۹۹۰
Cu	۱۸	۱۴	۴۴	۴۱	۲۸	۲۲	۳۱	۳۹	۳۳	۱۵	۹
Zn	۸۰	۳۹	۶۹	۶۹	۶۱	۵۱	۶۱	۹۷	۷۳	۷۷	۵۰
P	۳۳	۲۱	۲۴	۱۷	۳۱	۱۰	۲۲	۲۷	۲۰	۴۰	۱۵
V	۷۰	۱۶	۷۲	۱۳۵	۶۵	۸۱	۸۷	۷۸	۹۵	۱۸	۶۷
Ce	۷۱	۵۵	۳۱	۳۴	۸	۴۲	۵۳	۴۹	۲۶	۵۶	۷۶
La	۳۳	۲۷	۱۴	۱۶	۴	۲۲	۲۴	۲۶	۱۰	۴۲	۲۲
Ga	۲۰	۲۳	۲۹	۲۶	۱۸	۲۱	۲۳	۲۱	۱۹	۲۴	۲۶
Hf	۲۰	۲۳	۱۹	۱۸	۱۸	۱۹	۱۵	۱۸	۱۵	۲۵	۲۰
W	۱	۱	۱	۱	۱	۱	۱	۱	۱	۱	۱
Mo	۱	۱	۱	۱	۱	۱	۱	۱	۱	۱	۱
Nb	۱۳	۲۱	۲	۴	۱۶	۱۰	۲	۱۳	۱۰	۲۶	۱۹
Zr	۱۹۱	۱۷۸	۱۹۷	۱۶۵	۳۰۱	۱۶۹	۱۶۸	۱۷۸	۲۱۳	۱۲۳	۲۰۹
Y	۱۴	۴	۱۳	۲۲	۳۹	۱۵	۱۳	۱۴	۱۳	۶	۱۱
Rb	۸۳	۱۲۷	۵۹	۴۴	۱۱۲	۳۹	۵۳	۵۹	۵۴	۱۴۵	۶۷
Ni	۶۴	۲۷	۵۸	۱۲۸	۳۶	۴۴	۱۲۱	۷۳	۷۸	۳۱	۵۰
Cr	۱۷	۱۵	۴۴	۱۴۶	۴۴	۱۴	۱۱۶	۵۸	۵۷	۹	۳۲
Co	۵	۳	۷	۲۹	۱۸	۳	۹	۱۲	۹	۴	۱۰
U	۱	۳	۲	۵	۲	۱	۳	۲	۳	۳	۲
Th	۴	۶	۶	۱۱	۹	۸	۱۳	۹	۶	۸	۵

۲- نمودار درصد وزنی  $K_2O$  نسبت به  $SiO_2$  [۵] :

در این نمودار، هشت نمونه، در گستره داسیت و ریولیت، دو نمونه، در گستره آندزیت و یک نمونه، در گستره آندزیت بازالی با  $K$  متوسط، جای گرفته‌اند (نمودار ۱۰).

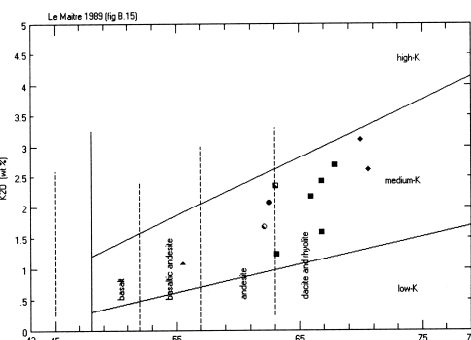
۳- نمودار درصد وزنی  $Al_2O_3$ ,  $FeO^*$  +  $TiO_2$ ,  $MgO$  [۶] :  
در این نمودار، دو نمونه از آتشفشانی‌های ترشیری، در گستره ریولیت آهکی-قليایی، چهار نمونه، در گستره داسیت آهکی-قليایی، پنج نمونه، در گستره آندزیت آهکی-قليایی، جای می‌گیرد (نمودار ۱۱).

نامگذاری ژئوشیمیائی سنگ‌های منطقه

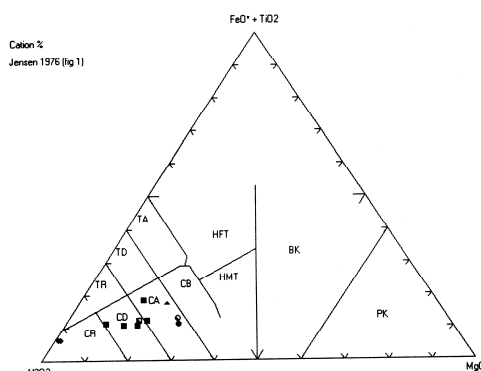
در این بخش نامگذاری سنگ‌ها با استفاده از داده‌های ژئوشیمیائی، ارائه شده است:

۱- نمودار درصد وزنی  $Na_2O$  +  $K_2O$  نسبت به  $SiO_2$  [۵] :

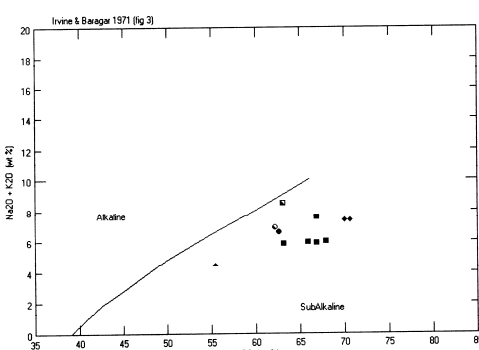
در این نمودار، دو نمونه از آتشفشانی‌های ترشیری منطقه، در گستره ریولیت ( $R$ )، پنج نمونه، در گستره داسیت ( $O3$ )، یک نمونه، در گستره تراکی داسیت ( $T$ )، یک نمونه، در گستره آندزیت ( $O2$ )، یک نمونه، در گستره تراکی آندزیت ( $S3$ ) و یک نمونه، در گستره آندزیت بازالی ( $O1$ ) قرار می‌گیرد (نمودار ۹).



نمودار ۹ نمودار درصد وزنی  $K_2O$  در مقابل  $SiO_2$  [۵] (توضیح در متن).



نمودار ۱۰ نمودار درصد وزنی  $MgO$ ,  $Al_2O_3$ ,  $FeO$  +  $TiO_2$  [۶] (توضیح در متن).



نمودار ۱۱ نمودار درصد وزنی  $Na_2O$  +  $K_2O$  در مقابل  $SiO_2$  [۷] (قاراگیری تمام نمونه‌ها در محدوده ساب آلکالن).

این امر با روند جدایش ماقمایی همخوانی دارد. تغییرات  $\text{Al}_2\text{O}_3$ , تا حدودی نامنظم است. به نظر می‌رسد که این تغییرات بیشتر تابع تبلور پلاژیوکلارهای موجود در این سنگ‌هاست. با این حال، به سمت سنگ‌های اسیدی مقدار آلومنی افزایش می‌یابد. این موضوع، نشان می‌دهد که این سنگ‌ها به مناطق کوهزائی تعلق دارند. با افزایش مقدار سیلیس، مقادیر اکسیدهای آهن دو ظرفیتی و سه ظرفیتی کاهش می‌یابد. از ترم‌های بازی‌تر به سمت ترم‌های اسیدی تر این کاهش سریع رخ می‌دهد (نمودار ۱۴). این امر مبنی تفکیک اکسیدهای آهن در مراحل آغازین جدایش ماقمایی در سری‌های آهکی-قلیایی است. ارتباط مثبت بین  $\text{TiO}_2$  و  $\text{P}_2\text{O}_5$  و ارتباط منفی بین این اکسید و سیلیس از مشخصات آتشفسانی آهکی-قلیایی است [۱۰]. عنصر V رفتاری مشابه با Ti دارد و با جدایش ماقمایی مقدار آن کاهش می‌یابد (نمودار ۷). مقادیر روپیدیم و استرانسیم با افزایش مقدار  $\text{SiO}_2$  افزایش می‌یابد (نمودار ۷).

#### تعیین سری ماقمایی سنگ‌های منطقه

برای تعیین سری ماقمایی سنگ‌های آتشفسانی منطقه از نمودارهای متعددی استفاده شده است:

۱- نمودار درصد وزنی  $\text{Na}_2\text{O} + \text{K}_2\text{O}$  نسبت به  $[\text{V}] \text{SiO}_2$ :

در این نمودار همه نمونه‌های آتشفسانی ترسیری منطقه در گستره شبه قلیایی قرار می‌گیرند (نمودار ۱۲).

۲- نمودار درصد وزنی  $\text{SiO}_2 / [\text{FeO}^*/\text{MgO}]$ :

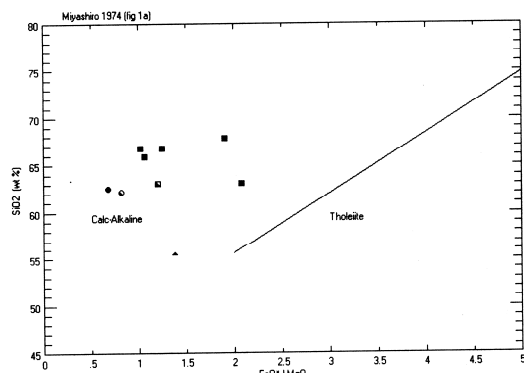
در این نمودار همه نمونه‌های آتشفسانی در گستره آهکی-قلیایی قرار می‌گیرند (نمودار ۱۳).

۳- نمودار  $[\text{V}] \text{Na}_2\text{O} + \text{K}_2\text{O}$ ,  $\text{FeO}^*$ ,  $\text{MgO}$ :

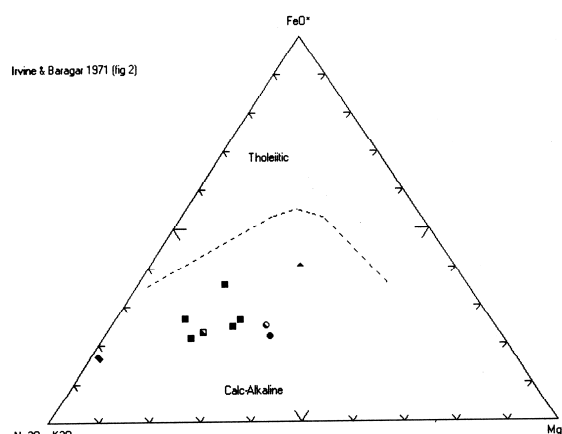
در این نمودار همه نمونه‌ها در گستره آهکی-قلیایی قرار می‌گیرند (نمودار ۱۴).

بررسی تغییر روند عناصر اصلی و فرعی نسبت به  $\text{SiO}_2$

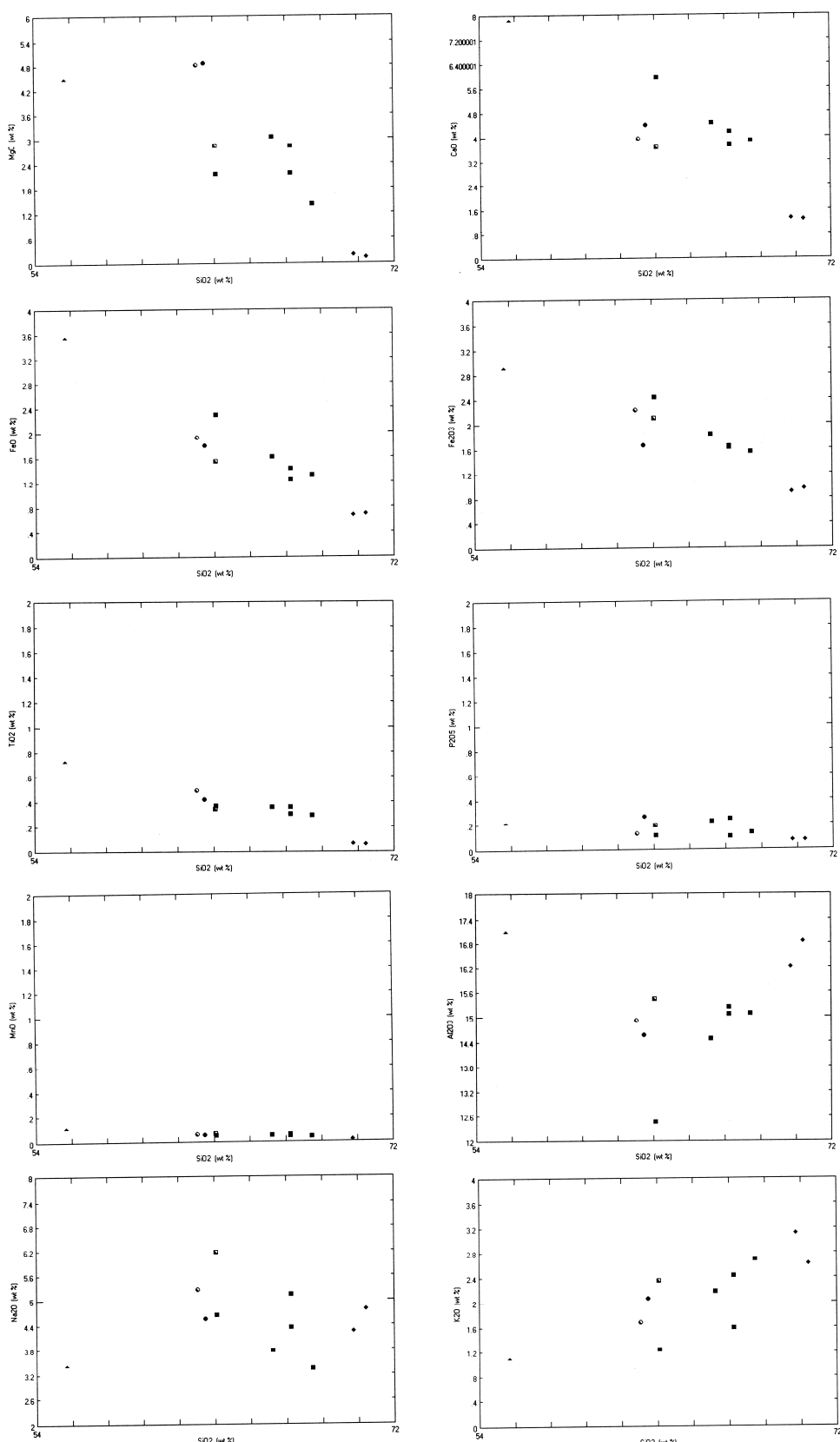
با افزایش مقدار سیلیس، مقادیر  $\text{P}_2\text{O}_5$ ,  $\text{MnO}$ ,  $\text{TiO}_2$ ,  $\text{Fe}_2\text{O}_3$ ,  $\text{FeO}$ ,  $\text{Cr}$ ,  $\text{Co}$ ,  $\text{Ni}$  و نیز مقادیر  $\text{MgO}$ ,  $\text{CaO}$  کاهش می‌یابد (نمودار ۱۴).



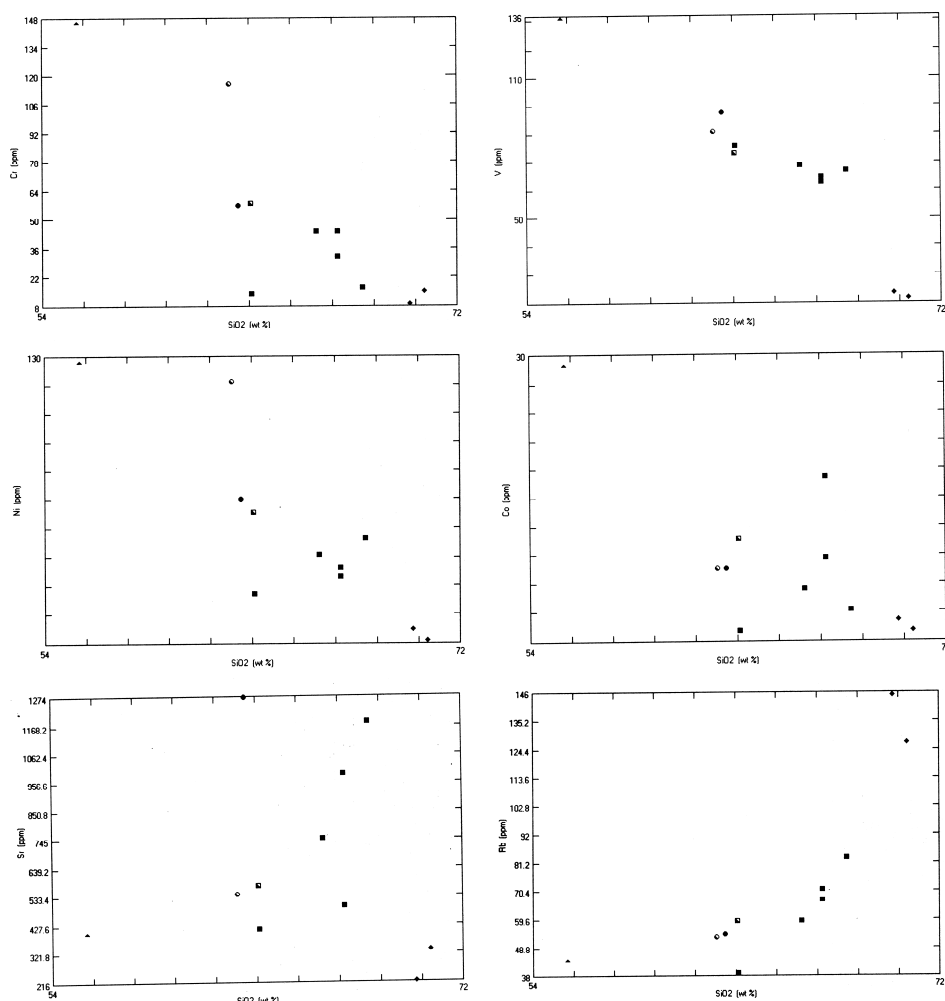
نمودار ۱۲ نمودار درصد  $\text{SiO}_2$  در مقابل  $[\text{FeO}^*/\text{MgO}]$  (قرارگیری تمام نمونه‌ها در محدوده کالک آلکالن).



نمودار ۱۳ نمودار  $\text{MgO} - \text{Na}_2\text{O} + \text{K}_2\text{O} - \text{FeO}^*$  (قرارگیری تمام نمونه‌ها در محدوده کالک آلکالن).



نمودار ۱۴ نمودارهای هارکر [۹] مربوط به سنگ‌های آتشفشانی مورد مطالعه (توضیح در متن).



ادامه نمودار ۱۴ نمودارهای هارکر مربوط به سنگ‌های آتشفسانی مورد مطالعه (توضیح در متن).

شده و بنابر تقسیم بندی لیک<sup>[۱۱]</sup> به گروه آمفیبولهای کلسیک تعلق دارند. در حالت عادی این کانی در خمیره سنگ یافت نمی‌شود. بررسی‌های آزمایشگاهی نشان می‌دهد که ماگماهای آندزیتی تولید کننده هورنبلنده، حداقل دارای ۳ درصد آب هستند<sup>[۱۲]</sup>. حضور کانی‌های آبدار از قبیل هورنبلنده از یک سو وجود مواد آذرآواری وابسته به مرحله انتشار اولیه این آتشفسانی‌ها، دلیل آبدار بودن ماگماهای مولد این سنگ‌هاست. فلوگوپیت، دیگر کانی فرومیزین این سنگ‌ها بوده و دارای هاله واکنشی متشکل از کانی‌های کدر (اکسیدهای آهن) است. تشکیل هاله‌های واکنشی کدر پیرامون هورنبلندهای سبز و یا فلوگوپیت در برخی از نمونه‌ها، به عدم تعادل این کانی‌های آبدار در محیط بی آب و افزایش دما بستگی دارد. وجود مقادیر زیادی

## بحث

چنانکه یادآور شدیم فراوان‌ترین سازای این سنگ‌ها درشت بلورهای پلازیوکلاز (اولیگوکلاز- آندزین) است که نشان می‌دهد که این کانی در هنگام فوران ماگماها، به صورت فاز جامد بوده است. وجود منطقه بندی نوسانی در پلازیوکلازها می‌تواند در اثر تغییر فشار بخار آب، حتی در دمای ثابت باشد؛ به طوریکه در فشار زیاد آب درصد آنورتیت پلازیوکلاز بیشتر خواهد بود. دلیل دیگر وجود منطقه‌بندی در پلازیوکلازها می‌تواند سرعت زیاد صعود ماگما باشد که باعث می‌شود بین بلورها و ماده مذاب تعادل برقرار نباشد. بنابر نظر گیل، این قبیل گونه‌گونی‌های ترکیبی، همراه با منطقه‌بندی پیچیده، از ویژگی‌های برخی از آندزیت‌های کوه‌زائی است<sup>[۱۰]</sup>. درشت بلورهای هورنبلنده سبز فراوان‌ترین کانی فرومیزین است که به صورت درشت بلور یافت

منطقه، با ویژگی‌های حاشیهٔ فعال قاره‌ای همخوانی بیشتری را نشان می‌دهند. همچنین مقایسهٔ داده‌های ژئوشیمیایی و سنگ‌شناختی این موضوع را تأیید می‌کند. مقادیر بالاتر Fe/Mg, U, K, Sr, Rb, Ba, Zr, Th و نسبت‌های بالاتر K/Rb و Mg/Fe نیز تایید کننده این برداشت است [۱۶]. همچنین مقایسهٔ داده‌های ژئوشیمیایی و سنگ‌شناختی (جدول ۲) مؤید آن است [۱۳]. نسبت بالای  $^{87}\text{Sr}/^{86}\text{Sr}$  (برابر با ۰.۷۰۵۳) در سنگ‌های منطقه [۱۷] می‌تواند نشان از آلودگی ماقماهای حد واسط در اثر مواد پوسته‌ای و یا خاستگاه پوسته‌ای آن‌ها باشد. در این زمینه باور بر آن است که آتشفشانی پالئوژن شمال لوت و مغرب بیرجند مربوط به فروزانش ورقه افغان به زیر بلوک لوت و ذوب پوسته اقیانوسی فرورانده در اعماق تقریباً ۱۰۰ کیلومتری است [۱۸].

بنابر تقسیم‌بندی ارائه شده [۲۱-۱۹] برونبوم‌های آمفیبوليتي موجود در سنگ‌های آتشفشانی منطقه از دو گروه تشکیل می‌شوند. گروه اول متشکل از هورنبلند سبز و پلازیوکلاز بوده و بافت‌های نماتوبلاستیک و گرانوبلاستیک دارند. آنالیز شیمی این نوع برونبوم و شباهت آن را با یک ترکیب بازی تولنیتی نشان می‌دهد که تا حدودی شبیه شبه بازی‌های مجموعه افیولیتی منطقه است [۴]. گروه دیگر آمفیبوليتهای غنی از هورنبلندهای قهقهه‌ای کم و بیش تغییر یافته به هورنبلند سبز و پلازیوکلاز است. با توجه به شواهد صحرائی از جمله وجود رخمنونهای کوچکی از آمفیبوليت‌های حاصل از واحدهای بازی مجموعه افیولیتی در کنار توده‌های آتشفشانی، شباهت‌های کانی‌شناسی و تا حدودی شیمیائی، می‌توان گفت که این برونبوم‌ها زینولیت‌های کنده شده از پی افیولیتی منطقه هستند که نخست طی دگرگونی ناحیه‌ای اواخر کرتاسه که منجر به جایگیری افیولیت ملانثر خاور کشور روی پوسته قاره‌ای شده، در حد اواسط رخساره آمفیبوليت (حضور هورنبلند سبز) و یا اواخر آن رخساره (حضور هورنبلند قهقهه‌ای و کلینوپیروکسن) دگرگون شده و سپس تحت تاثیر گرمای ناشی از گدازه هورنبلندهای قهقهه‌ای دوباره به هورنبلند سبز تبدیل شده‌اند.

از درشت بلورهای هورنبلند سبز و بیوپیت، مؤید سری آهکی-قلیایی حاشیه‌های فعال قاره‌ای است [۱۳]. کلینو پیروکسن‌ها (اوژیت-تیتان اوژیت) نیز، به مقدار کم، مشاهده می‌شوند. هر چند درشت بلورهای ارتوپیروکسن بسیار نادرند و این امر با توجه به حضور کانی‌های آبدار مثل هورنبلند و بیوپیت طبیعی است، ولی چنانکه خاطر نشان شده [۱۴] در خمیره سنگ‌های آتشفشانی سری آهکی قلیایی، همیشه ارتو پیروکسن وجود دارد. بلورهای ریز آپاتیت که سرنشی آندزیت‌های کوهزائی است تقریباً در تمام نمونه‌ها قابل روئیت است. بیشتر آندزیت‌ها در جزایر قوسی و حاشیه‌های قاره‌ای فعال یافت می‌شود. بعضی از سنگ‌های حدواسط در جزایر مانند ایسلند و هاوائی و یا در بخش‌ها از کف اقیانوس یافت شده و آندزیت نام گرفته‌اند ولی شبیه آندزیت‌های کوهزائی نیستند؛ زیرا به ندرت در آنها هورنبلند یافت می‌شود و نیز نسبت به آندزیت‌های کوهزائی از  $\text{Al}_2\text{O}_3$  فقیرترند [۱۰، ۱۵]. به طور کلی ایسلندیت‌ها نسبت به آندزیت‌های کوهزائی بسیار ریز بلورتر و دارای آلومین کمتر (متوسط ۱۵ درصد) و نیز مقادیر  $\text{TiO}_2$ ,  $\text{MnO}$  و مجموع آهن کل بسیار زیادترند و دارای مقادیر  $\text{Na}_2\text{O}$ ,  $\text{K}_2\text{O}$ ,  $\text{SiO}_2$  مشابهی هستند. بر این اساس یک روش مناسب برای جداسازی این دو نوع آندزیت، بکار گیری رابطه  $\text{Al}_2\text{O}_3/\text{FeO} + \text{Fe}_2\text{O}_3$  است، به طوری که این نسبت در آندزیت‌های کوهزائی بیشتر از ۲ و در ایسلندیت‌ها کمتر از ۲ است. در سنگ‌های آتشفشانی مورد بررسی، این نسبت بین ۲/۶۳ تا ۱۰/۳۳ تغییر می‌کند. با این توضیحات به نظر می‌رسد که آندزیت‌های منطقه از نوع کوهزائی هستند. آندزیت‌های نوع کوهزائی و سنگ‌های وابسته به آن بیشتر در دو محیط مختلف جزایر قوسی و حاشیه‌های قاره‌ای تشکیل می‌شوند و هر یک سرنشی‌های ویژه‌ای دارند. چنانچه وجود تمایز بین آندزیت‌های کوهزائی متعلق به جزایر قوسی و حاشیه‌های قاره‌ای فعال [۱۳] را مد نظر داشته باشیم (جدول ۲)، با توجه به فراوانی سنگ‌های داسیتی، آندزیت داسیتی، آندزیتی و ریولیتی و فقدان سنگ‌های بازالتی وابسته به ترشیری در منطقه، آهکی-قلیایی بودن تمامی آن‌ها، درصد بالای  $\text{SiO}_2$  و وجود مقدار زیاد درشت بلورهای هورنبلند و بیوپیت، می‌توان گفت که سنگ‌های آتشفشانی ترشیری

جدول ۲ مقایسه داده‌های شیمیایی جزایر قوسی و حاشیه‌های قاره‌ای فعال [۱۳] و آتشفشنای های شمال بیرجنند.

آتشفشنای های شمال بیرجنند	حاشیه قاره‌ها	جزایر قوسی	شاخص
۵۵/۵۱-۷۰/۵۹	۵۶-۷۵	۵۰-۶۶	$\text{SiO}_2$
۱/۱۳-۱۲/۶	>۲	<۲	$\text{FeO}/\text{MgO}$
۰/۴-۰/۸	۰/۶-۱/۱	۰/۸	$\text{K}_2\text{O}/\text{Na}_2\text{O}$
۴۴-۱۴۵	۶۶-۱۰۸	۳۰-۴۵	$\text{Rb}(\text{ppm})$
۲۱۸-۱۱۴۸	۵۷۰-۸۶۰	۳۸۰-۴۶۰	$\text{Sr}(\text{ppm})$
۱۲۳-۲۱۳	۱۸۴-۲۲۶	۱۰۰-۱۱۲	$\text{Zr}(\text{ppm})$
Cpx, Hb, Bio, Q, Plg	Cpx, Opx, Hb, Bio, Q	Cpx, Opx, Hb, Bio, Q	درشت بلورها
داسیت، آندزیت، ریولیت، ندرتاً آندزیت بازالتی و آذرآواری‌های اسیدی و حدواسط	آنزیت، داسیت، ایگنمبریت، ریولیت، بازالت(حجم داسیت‌ها و ریولیت‌ها بسیار زیاد می‌باشد)	بازالت، آندزیت، داسیت، آذرآواری ریولیتی، ریولیت(حجم سنگ‌های آندزیتی و بازالتی بر ترم-های اسیدی مثل داسیت و ریولیت برتری دارد، ریولیت نایاب و یا دارای گسترش بسیار اندکی است)	لیتوژوژی
تماماً کالکوآلکالن	عمدتاً کالکوآلکالن، به مقدار کمتر تولثیتی و ندرتاً آلکالن	عمدتاً تولثیتی، به مقدار کمتر کالکوآلکالن و ندرتاً آلکالن	سری‌های ماقمائي

## برداشت

۱- سنگ‌های آتشفشنای ترشیری منطقه، شامل آندزیت، آندزیت بازالتی، تراکی آندزیت، تراکی آندزیت بازالتی، آندزیت داسیتی، داسیت و ریولیت بوده و از نظر ماهیت، به سری ماقمائي آهکی- قلیایي دارای پاتاسیم متوسط وابسته‌اند.

۲- گسترش گستره سنگ‌های آذرآواری که همراه با سنگ‌های آتشفشنای دیده می‌شوند و نیز فراوانی کانی‌های آبدار از قبیل هورنبلند سبز و فلوگپیت در سنگ‌های آتشفشنای منطقه، دلالت بر آبدار بودن ماقمائي حدواسط مادر آنها دارد.

زینولیت‌های گنیسی تونالیتی نیز با توجه به ترکیب کانی‌شناسی آن (کوارتز، پلازبوکلاز، فلدسپات پاتاسیم، کلینوپیروکسن، بیوتیت و اسفن) قطعات کنده شده از پلازیوگرانیت‌های وابسته به افیولیت‌های بی منطقه هستند.

زینولیت‌های نوع هورنفلس برگه‌ای، قطعاتی از سنگ‌های برگه‌ای هستند که نخست در حین دگرگونی ناحیه‌ای به بیوتیت شیست تبدیل شده و سپس در اثر سقوط به درون ماقما و یا گدازه، تا حد رخساره پیروکسن هورنفلس دگرگون شده‌اند.

Survey of Iran, 1975, Final reservation: Eftekharnezhad, 1986.

[۴] یوسف‌زاده محمد حسین، پتروگرافی، ژئوشیمی و پتروزیز سنگ‌های آتشفشاری ترسیری منطقه بیرجند- خووف با نگرشی ویژه برانکلاوهای موجود در آن، پایان‌نامه دوره دکتری پتولوژی، دانشگاه شهرید بهشتی (در حال اجرا).

[۵] Maitre R. W. Le, "A Classification of Igneous Rocks and Glossary of Terms", Backwell. Oxford, 193pp., 1989.

[۶] Jensen L. S., "A New cation plot for classifying subalkalic rocks", Ontario Division of Mines, MP 66, 22P. 1976.

[۷] Irvine T., W., Baragar W. R. A., "A guide to the chemical classification of the common volcanic rocks", Canadian Journal of Earth Sciences, Vol. 8, pp.523 – 548, 1971.

[۸] Miyashiro A., "Volcanic rocks series in island arcs and active continental margins", American Journal of Science, Vol. 247, pp 321 – 355, 1974.

[۹] Harker A., "The natural history of igneous rocks", Macmillan, New York, 384pp, 1909.

[۱۰] Gill J. B., "Orogenic Andesites and plate tectonics", Springer, Verlag, Berlin, 1981.

[۱۱] Leake B. E., "Nomenclature of amphiboles "Additions and revisions to the International Mineralogical Association's amphibole nomenclature", American Mineralogist, Vol. 89 (2004) 883-887.

[۱۲] Burnham C. W., "The importance of volatile constituents", Ch.16, pp. 439 – 82 in Yoder, H.S.(ed), The Evolution of Igneous Rocks, Fiftieth Anniversary Perspectives, Princeton Univ. Press, Princeton, New Jersey, USA, 1979.

[۱۳] Jakes P., White A. J. R., "Hornblendes from calc-alkaline volcanic rocks of island arcs and continental margins", Am. Mineral. 57(1972) 887 – 902.

[۱۴] Kuno H. "Petrology of Hankone volcano and the adjacent areas in Japan", Geol. Soc. Am. , Bull. 61 (1950) 975 – 1020.

[۱۵] Carmichael I. S. E., "The petrology of Thingmuli, a Tertiary volcano in Eastern Iceland", J. Petrol. 5(3)(1964) 435 – 60.

[۱۶] Wilson, M., "Igneous petrogenesis", Academic Division of Unwin Hyman LTD(1989).

[۱۷] یونگ د. و همکاران، سنگ شناختی فعالیت مagmaی ترسیری در ناحیه لوت شمالی (خاور ایران)، گزارش شماره ۵۱ سازمان زمین‌شناسی کشور (۱۹۸۳).

۳- طبق شواهد کانی‌شناسی و ژئوشیمیائی از جمله گونه گونی‌های ترکیبی و منطقه بندی در پلازیوکلазها، حضور بلورهای آپاتیت در همه نمونه‌ها، مقدار نسبتاً زیاد  $\text{Al}_2\text{O}_3$  (بیشتر از ۱۵ درصد) و نسبت  $\text{Al}_2\text{O}_3/\text{FeO}+\text{Fe}_2\text{O}_3$  بیشتر از ۲ (برابر ۲۶۳ تا ۱۰۳۳)، آندزیت‌ها و داسیت‌های منطقه از نوع کوهزائی هستند.

۴- با توجه به حضور فراوان هورنبلند سبز و فلوگوبیت، محل تشکیل سنگ‌های یاد شده با حاشیه قاره‌ای فعال یعنی محل فرورانش ورقه افغان به زیر بلوک لوت، همخوانی دارد.

۵- هر چند شواهد موجود کافی به نظر نمی‌رسد ولی، دامنه گستره تغییرات عناصر کمیاب و نیز روندهای جدایش عناصر اصلی و فرعی در سنگ‌های آتشفشاری می‌تواند تا حدودی نشان‌دهنده جدایش ماقمایی باشد. فراوانی  $\text{Zr}$  و نسبت بالای  $^{87}\text{Sr}/^{86}\text{Sr}$  (برابر با ۰.۷۰۵۳) برای آندزیت‌ها و داسیت‌های منطقه می‌تواند نشانه خاستگاه پوسته‌ای ماگما و یا آلودهشدن ماگمای در حال صعود به وسیله مواد پوسته‌ای باشد؛ به ویژه که در بیشتر توodeها شاهد حضور برونویوم‌های آمفیبوليتي و شبه برگهای هستیم. وجود حاشیه‌های خورده شده در برخی از پلازیوکلازها و حاشیه‌های خلیجی در کوارتزها می‌تواند نشانگر اختلاط ماقمایی باشد. با عنایت به موارد یاد شده، شاید بتوان یک خاستگاه ترکیبی را برای آتشفشاری‌های ترسیری منطقه در نظر گرفت.

۶- برونویوم‌های موجود در این سنگ‌ها بیشتر از نوع زینولیتی (آمفیبوليتهای، گنیس‌های تونالیتی و هورنفلس‌های پلیتی) و کمتر از نوع اتونالیتی (تونالیتی- داسیتی و یا دیوریتی- آندزیتی) هستند.

۷- از بین رفتن بافت‌های با سمت یافتگی برتر و حضور کانی‌های حساس به گرمای مثل کردیریت در زینولیت‌های غنی از فلوگوبیت و تبدیل هورنبلندهای قهوه‌ای به هورنبلند سبز در زینولیت‌های آمفیبوليتي نشان از هورنفلسی شدن این زینولیت‌ها دارد.

#### مراجع

- Camp V. E., Griffis R. J., "Character, genesis and tectonic setting of igneous rocks in Sistan suture zone", LITHOS 15 , (1981) PP. 221-239.
- Tirrell R., Bell I. R., Griffis R. J., Camp V. E., "The sistan suture zone of eastern Iran", Geological Soc. Of Amer. Bul. V. 94. (1989) pp. 134 – 150.
- Ohanian T., Tatavoosian Sh., "Geological map of birjand, sheet No.7855, Scale 1: 100000", Geological

- [20] Didier J., "*Granites and Their Enclaves*", The Bearing of Enclaves on the origin of granites. Development in petrology, 3 Elsevier, Amesterdam (1973)393p.
- [21] Didier j., Barbarin B. "*Enclaves and granite petrology*", Elsevier Science Publishers (1991) 625p.
- [18] Lotfi M., "Geological and geochemical investigation on the volcanogenic Pb, Zn, Cu, Sb ore mineralization in Shurab-Golechah and NW of Khur (Lut, East Iran)", Ph, D. Thesis. 151p. Uni.Humburg, (1982).
- [19] Didier J., "Etue petrographique des enclaves de quelques granites du Massif Central Francais", Ann. Fac. Sci. Univ. Clermont – Ferrond, 23 (1964) 254p.